

# E3A 09 PSI LAMDA METRE

## A RAYON LUMINEUX

	A1a	$\tau(M) = \frac{(SM)}{c}$ le chemin optique est la longueur du trajet que ferait la lumière dans le vide, pendant le temps qu'elle met pour faire le trajet SM dans le milieu d'indice n
	A1b	$\lambda = c/v = 600 \text{ nm} \Rightarrow \omega = 2\pi c/\lambda \approx 3 \cdot 10^{15} \text{ rad/s}$
	A1c	$\phi(M) - \phi(P) = \frac{2\pi(PM)}{\lambda_0}$
	A2a	Surface d'onde = surface équiphasique = lieu des points M tels que $(SM) = \text{constante}$ Dans un milieu d'indice constant, $(SM) = n \cdot SM$ . Le lieu des points à égale distance de S est une sphère. Th de MALUS : les rayons lumineux sont orthogonaux aux surfaces d'onde
	A2b	Collimateur (= source ponctuelle placée au foyer d'une lentille convergente)

## B Interférences entre deux sources

	B1a	$E = 2< S ^2> = 2< a_1 ^2 \cos^2(\omega_1(t - [S_1M]/c) - \phi_1) +  a_2 ^2 \cos^2(\omega_2(t - [S_2M]/c) - \phi_2) + 2a_1 a_2 \cos(\omega_1(t - [S_1M]/c) - \phi_1) \cos(\omega_2(t - [S_2M]/c) - \phi_2)>$ $E =  a_1 ^2 +  a_2 ^2 + 2a_1 a_2 <\cos(\omega_1(t - [S_1M]/c) - \phi_1) \cos(\omega_2(t - [S_2M]/c) - \phi_2)>$ <p>Avec <math>2\cos a \cos b = \cos(a+b) + \cos(a-b)</math>  <math>2\cos(\omega_1(t - [S_1M]/c) - \phi_1) \cos(\omega_2(t - [S_2M]/c) - \phi_2) =</math>  <math>\cos((\omega_1 + \omega_2)t - (\omega_1[S_1M] + \omega_2[S_2M])/c) - \phi_1 - \phi_2) + \cos((\omega_1 - \omega_2)t - (\omega_1[S_1M] - \omega_2[S_2M])/c) - \phi_1 + \phi_2)</math>  La valeur moyenne premier terme est nulle  <math>E =  a_1 ^2 +  a_2 ^2 + 2a_1 a_2 &lt;\cos((\omega_1 - \omega_2)t - (\omega_1[S_1M] - \omega_2[S_2M])/c) - (\phi_1 - \phi_2)&gt;</math>  Le terme d'interférences est le dernier terme</p>
	B1b	Il y a interférences si $\omega_1 = \omega_2$ . Sinon, les ondes sont incohérentes, la valeur moyenne du dernier terme est nulle : $E =  a_1 ^2 +  a_2 ^2$ . C'est la somme des intensités des deux ondes, l'éclairement est uniforme
	B1c	Non : voir ci-dessus
	B1d	Avec des ondes de fréquences très proches, si le terme en cos varie suffisamment lentement on peut observer des « battements »
	B2a	$\phi_2(M) - \phi_1(M) = 2\pi \frac{(S_2M) - (S_1M)}{\lambda_0} + \phi_{S2} - \phi_{S1} = 2\pi \frac{\delta_{2/1}}{\lambda_0} + \phi_{S2} - \phi_{S1}$
	B2b	$\phi_{S2}$ et $\phi_{S1}$ dépendent du temps, car les sources en raison du processus d'émission des sources
	B2c	Il faut que le déphasage $\Phi_{12}$ , donc $\phi_{S2} - \phi_{S1}$ ne dépende pas du temps : les sources doivent être synchrones (ou corrélées). Il faut en outre que la ddm $\delta$ ne dépasse pas la longueur de cohérence des sources.
	B3	Le tracé est celui d'une sinusoïde. $E_{\max} = E_1 + E_2 + 2\sqrt{E_1 E_2}$ $E_{\min} = E_1 + E_2 - 2\sqrt{E_1 E_2}$ $\text{contraste} = \frac{E_{\max} - E_{\min}}{E_{\max} + E_{\min}} = \frac{2\sqrt{E_1 E_2}}{E_1 + E_2} (< 1)$ Le contraste est maximal et vaut 1 pour $E_1 = E_2$

## C figures d'interférences

	C1a	Les deux sources sont obtenues à partir d'une même source $S_0$ , par division du front d'onde ou division d'amplitude $E(M) = 2E_0(1 + \cos(2\pi \frac{\delta_{2/1}}{\lambda_0}))$
	C1b	$S_1M = [(x+b/2)^2 + y^2 + D^2]^{1/2} = D[1 + [(x+b/2)^2 + y^2]/D^2]^{1/2} \cong D[1 + [(x+b/2)^2 + y^2]/2D]$ et de même : $S_2M \cong D[1 + [(x-b/2)^2 + y^2]/2D]$ $\delta = S_2M - S_1M \cong bx/D$ $\Rightarrow E(M) = 2E_0(1 + \cos(2\pi \frac{bx}{D\lambda_0}))$

		Les franges sont des franges rectilignes , parallèles à l'axe Oy (= lieu des points de même intensité => $x = \text{cste}$ )
	C1c	$p = \frac{\delta}{\lambda_0}$ frange brillante pour $p$ entier : on a alors $\cos(2\pi p) = 1 \Rightarrow$ intensité maximale et frange sombre pour $p$ demi-entier ( $\cos = -1 \Rightarrow E = E_{\min}$ )
	C1d	Interfrange = distance séparant deux franges de même intensité $\Rightarrow i = \frac{\lambda_0 D}{b}$
	C2a	$S_2 M = \sqrt{(S_2 C)^2 + (CM)^2 - 2S_2 C \cdot CM \cdot \cos(\pi - \theta)} \approx CM \left(1 + \frac{b}{2CM} \cos \theta\right)$ Et de même $S_1 M \approx CM \left(1 - \frac{b}{2CM} \cos \theta\right) \Rightarrow \boxed{s_{2/1} = b \cos \theta}$
	C2b	$E(M) = 2E_0 \left(1 + \cos\left(2\pi \frac{b \cos \theta}{\lambda_0}\right)\right)$ avec $\cos \theta = \frac{D}{\sqrt{D^2 + \rho^2}}$ $\Rightarrow E(M) = 2E_0 \left(1 + \cos\left(2\pi \frac{b}{\lambda_0} \frac{D}{\sqrt{D^2 + \rho^2}}\right)\right)$
	C2c	Le lieu des points de même intensité est défini par $\rho = \text{constante}$ : ce sont donc des cercles de centre B $p = \frac{\delta}{\lambda_0} = \frac{b}{\lambda_0} \frac{D}{\sqrt{D^2 + \rho^2}}$ décroît donc a partir du centre ( car $\rho$ croit)

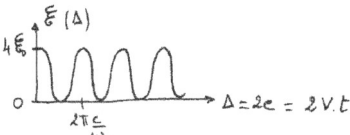
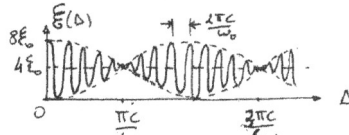
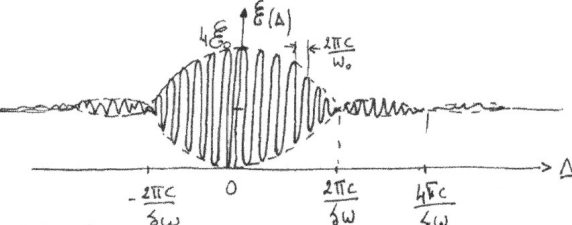
## Deuxième partie : Interféromètre de Michelson

### D Anneaux d'égale inclinaison

	D1a	S1 est l' image de S par la séparatrice + miroir S1 : $S_1 x_1=0, z_1=2(L_0+e)+L_s$ S2 est l' image de S par la séparatrice + miroir S1 + Séparatrice S2 : $x_2=0 \quad z_2=2L_0+L_s$ Donc $S_1 S_2 = 2e$
	D1b	on trace le plan d'onde orthogonal aux rayons issus de S1 et S2 et émergeant sous l'angle $\theta$ . Ces rayons convergent sur l'écran en M th de Malus $\Rightarrow (S_2 M) = (HM)$ donc $\boxed{s_{1/2} = (2e) \cos \theta}$ et $\tan \theta = \frac{BM}{f'} = \frac{\rho}{f'}$ pour $\theta \ll f' \Rightarrow \theta$ petit, $\tan \theta \approx \theta$ et $\cos \theta \approx 1 - \frac{1}{2} (\frac{\rho}{f'})^2$ $\boxed{s_{1/2} = 2e \left(1 - \frac{1}{2} \left(\frac{\rho}{f'}\right)^2\right)}$ Pour $\rho = 0$ , on a donc $\boxed{\Delta = s(B) = 2e}$
	D2a	$E(M) = 2E_0 \left(1 + \cos\left(2\pi \frac{\delta}{\lambda_0}\right)\right) = 2E_0 \left(1 + \cos\left(2\pi \frac{2e}{\lambda_0} \left(1 - \frac{1}{2} \left(\frac{\rho}{f'}\right)^2\right)\right)\right)$ E est constant pour $\rho = \text{constant}$ =< anneaux concentriques
	D2b	Au centre des anneaux, $p_0 = 2e/\lambda_0$ Le $k^{\text{ième}}$ anneau brillant correspond donc à $p_k = p_0 - k \Rightarrow \frac{2e}{\lambda_0} \left(1 - \frac{1}{2} \left(\frac{\rho}{f'}\right)^2\right) = \frac{2e}{\lambda_0} - k$ soit $\rho_k = f' \sqrt{k \frac{\lambda_0}{e}}$
	D2c	? même question que le précédente ( erreur d'énoncé ? ) Le rayon du premier anneau est $\rho_1 = f' \sqrt{\frac{\lambda_0}{e}}$ donc $\rho_k = \rho_1 \sqrt{k}$
	D2d	Au contact optique, $e = 0$ , le rayon $\rho_1$ tend vers l'infini : on observe donc un écran uniformément éclairé , c'est la teinte plate . Un anneau est caractérisé par son ordre d'interférence $p = 2 e \cos \theta / \lambda_0$ . Lorsqu'on augmente $e$ , cet anneau se retrouve donc pour un $\cos \theta$ plus petit, donc un $\theta$ plus grand : son rayon augmente . Sur l'écran de taille limitée ( rayon R par exemple) , on ne voit que les $k$ premiers anneaux, pour lesquels $\rho_k = \rho_1 \sqrt{k} < R$ . or, pour $e$ augmentant, $\rho_1$ diminue , on verra donc plus d'anneaux dans une région de rayon R <b>Lorsque <math>e</math> augmente , on voit « sortir » les anneaux., leur « épaisseur » diminue , il y a plus d'anneaux dans le champ</b>
	D2e	Le calcul attendu est : La lame introduit une ddm $\delta = 2(n_{\text{lame}} - n_{\text{air}})e_{\text{lame}}$ ( aller-retour)

	<p>un déplacement de 16 franges correspond à une variation de <math>\delta</math> de <math>16\lambda_0</math> donc <math>n_{lame} = 1.5</math> mais ,</p> <p>1) Je me demande bien comment on observe un tel déplacement brusque de 16 franges !</p> <p>2) on annonce une lame de <math>8 \mu m = 8 \mu m \pm 1 \mu m \Rightarrow</math> est ce bien utile de sortir un Michelson pour trouver à 10% près l'indice d'un verre ? Qui fait vraiment cela ?</p>
D3	<p>Avec une source ponctuelle, les franges sont non localisées, on peut placer l'écran où on veut . mais source ponctuelle = peu de lumière</p> <p>Avec une source étendue, les interférences sont localisées à l'infini, donc observables seulement au plan focal image d'une lentille</p>

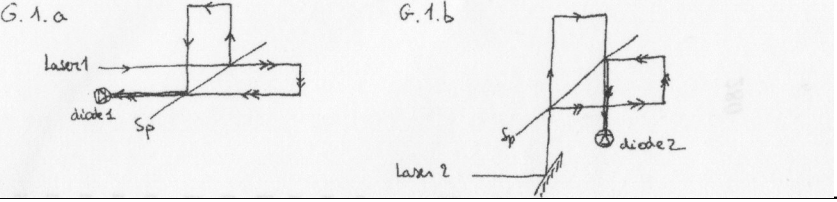
### E Analyse d'interférogrammes

E1a	$E(M) = 2E_0(1 + \cos(2\pi \frac{\Delta}{\lambda_0})) = 2E_0(1 + \cos(\frac{\omega_0 \Delta}{c})) =$
E1b	 <p>Au cours du déplacement du miroir, l'éclairement au centre varie périodiquement de 0 à <math>4E_0</math> , il y a donc scintillement à la fréquence</p> $2V \frac{1}{V} = \frac{2\pi c}{\omega_0} \Rightarrow V = \frac{\omega_0 V}{\pi c}$
E2a	<p>Les éclaircements dus à ces deux ondes de fréquences différentes s'additionnent :</p> $E(M) = 2E_0(1 + \cos(\frac{\omega_1 \Delta}{c})) + 2E_0(1 + \cos(\frac{\omega_2 \Delta}{c})) = 4E_0(1 + \cos(\frac{\omega_0 \Delta}{c}) \cos(\frac{\delta\omega \Delta}{2c}))$ <p>Le degré de cohérence temporelle vaut <math>\gamma(\Delta) = \cos(\frac{\delta\omega \Delta}{2c})</math></p>
E2b	<p>Le contraste des franges vaut :</p> $C(\Delta) =  \gamma(\Delta)  = \left  \cos\left(\frac{\delta\omega \Delta}{2c}\right) \right $ 
E2c	<p>1000 scintillements entre deux brouillages <math>\Rightarrow \pi \frac{2c}{\delta\omega} = 1000 \frac{2\pi c}{\omega_0} \Rightarrow \frac{\delta\omega}{\omega_0} = \frac{1}{1000} \Rightarrow \delta\lambda = 0.6 \text{ nm}</math></p> <p>Entre deux brouillages , <math>\Delta</math> a varié de <math>\pi \frac{2c}{\delta\omega}</math> il a fallu charroter de la moitié soit</p> $\delta e = \frac{\pi c}{\delta\omega} = \frac{\pi c}{(\omega_0 \delta\lambda / \lambda_0)} = \frac{\lambda_0^2}{2\delta\lambda} = 0.3 \text{ mm}$
E3a	$E(M) = \int_{\omega_0 - \delta\omega/2}^{\omega_0 + \delta\omega/2} 2 \frac{E_0}{\delta\omega} (1 + \cos(\frac{\omega \Delta}{c})) d\omega = 2 \frac{E_0}{\delta\omega} \left[ \delta\omega + \left[ \frac{c}{\Delta} \sin(\frac{\omega \Delta}{c}) \right]_{\omega_0 - \delta\omega/2}^{\omega_0 + \delta\omega/2} \right]$ $E(M) = 2E_0 \left[ 1 + \sin c(\frac{\delta\omega \Delta}{2c}) \cos(\frac{\omega_0 \Delta}{c}) \right]$ <p>le degré de cohérence est <math>\gamma(\Delta) = \sin c(\frac{\delta\omega \Delta}{2c})</math></p>
E3b	<p>Le contraste vaut <math>C(\Delta) = \left  \sin c(\frac{\delta\omega \Delta}{2c}) \right </math></p> 
E3c	<p>Les franges restent bien contrastées dans le lobe central de la fonction sinc : donc pour</p> $\Delta < \Delta_c = \frac{2\pi c}{\delta\omega} = \frac{\lambda_0^2}{\delta\lambda}$
E3d	<p>La longueur de cohérence <math>\Delta_c</math> est la longueur d'un train d'onde, émis pendant une durée <math>\tau_c</math>. Il y a interférences seulement si la ddm est inférieure à la longueur des trains d'onde</p>
E3e	<p>Pour la lampe sodium : <math>\Delta_c = \frac{\lambda_0^2}{\delta\lambda} = 3.6 \text{ cm}</math> pour un laser <math>\Delta_{claser} = \frac{\lambda_0^2}{\delta\lambda} = 360 \text{ m}</math></p> <p>La longueur de cohérence d'une source parfaitement monochromatique serait infinie</p>

## F Analyse spectrale de l'interférogramme

F1a	<p>On fait ce calcul d'intégrale en linéarisant le produit de cos , ce qui fait apparaître <math>\omega-\omega_0</math> et <math>\omega+\omega_0</math></p> <p>On est alors ramené à intégrer des cos , comme en E3a , on fait apparaître les sinc</p> $F(\omega)=E_0\Delta_{\max}\left[\sin c\left(\frac{\omega\Delta_{\max}}{2c}\right)+\frac{1}{2}\sin c\left(\frac{(\omega-\omega_0)\Delta_{\max}}{2c}\right)+\frac{1}{2}\sin c\left(\frac{(\omega+\omega_0)\Delta_{\max}}{2c}\right)\right]$ <p>On obtient trois « pics », d'amplitude <math>E_0\Delta_{\max}</math>, <math>E_0\Delta_{\max}/2</math> et <math>E_0\Delta_{\max}/2</math>.</p> <p>De largeur <math>\delta\omega_{\text{base}} = \frac{2\pi c}{\Delta_{\max}}</math> , situé en <math>\omega= 0</math>, <math>\omega=\omega_0</math>et <math>\omega=-\omega_0</math></p> <p>On ne s'intéressera qu'au pic situé en <math>\omega_0</math>, caractéristique de la source étudiée.</p> <p>Lorsque <math>\Delta_{\max}</math> augmente, la largeur des pics diminue =&gt; ils deviennent des « raies » étroites .</p>
F1b	Avec deux sources $\omega_1$ et $\omega_2$ , on obtient deux pics , de même largeur , centrés en $\omega_1$ et $\omega_2$ Ces deux « sinc » peuvent se recouvrir partiellement
F1c	Le critère de Rayleigh s'écrit : $\Delta\omega_R = \omega_2 - \omega_1 = \frac{\delta\omega_{\text{base}}}{2} = \frac{\pi c}{\Delta_{\max}}$
F2	$R = \frac{\omega_0}{\Delta\omega_R} = \frac{\omega_0\Delta_{\max}}{\pi c}$ or la distance entre deux max d'intensité est ( cfE3b) $\Delta_i = \frac{2\pi c}{\omega_0}$ D'où $R = \frac{2\Delta_{\max}}{\Delta_i}$ = nombre de max observables lors de la course entre $-\Delta_{\max}$ et $\Delta_{\max}$

## Troisième partie lambdamètre

G1a G1b	
G1c	Les ddm sont les mêmes
G2	Chaque scintillement correspond à une variation de $\Delta=2e$ de $\lambda \Rightarrow 2e = p_1 \lambda_1 = p_2 \lambda_2$ donc $\lambda_2 = \frac{p_1}{p_2} \lambda_1 = 10.60 \mu\text{m}$ ( laser infrarouge)
G3	Le réglage des coins de cube est plus facile que celui des miroirs ( faisceau systématiquement réfléchi dans la direction incidente) et ils sont plus facile à fabriquer Nécessité du vide ?
G4	Le pouvoir de résolution est élevé, car le nombre des scintillements comptés est important : , ceci car $e = p_1 \lambda_1 / 2 = 1 \text{ m}$ Cette valeur ( élevée) est cependant nettement inférieure à la longueur de cohérence des lasers étudiés. $\Rightarrow$ pas de pb
G5	Chute libre $\Rightarrow e = \frac{1}{2}gt^2 \Rightarrow t_{\text{chute}} = 0.45 \text{ s} \Rightarrow$ manip rapide
G6	$\lambda_2 = \frac{p_1}{p_2} \lambda_1 \Rightarrow \frac{\Delta\lambda_2}{\lambda_2} = \frac{\Delta p_1}{p_1} + \frac{\Delta p_2}{p_2} + \frac{\Delta\lambda_1}{\lambda_1} = \frac{1}{3160556} + \frac{1}{188679} + 0 \approx 5 \cdot 10^{-6} \Rightarrow$ très bonne précision de la mesure, on pourrait annoncer beaucoup plus de chiffres significatifs que ceux donnés en G2 ( a condition de connaître $\lambda_1$ avec mieux que 4 chiffres )